



Paralleles Rechnen I

Einführung in das Hochleistungsrechnen – SS 2012
Modellproblem Laplace-Gleichung

Thorsten Grahs, 19. Juni 2012

Beispiele paralleler Anwendungen

- **ModellProblem:Laplace-Gleichung**
- **Direkte Verfahren**
- **Iterative Verfahren**
- **Parallelisierungstechniken: Laplace-Gleichung**
- **Standartbibliotheken (BLAS, LAPACK)**

Wärmeleitung

Allgemeines Modell für Wärmeleitung

$$\frac{\partial (c\rho T)}{\partial t}(x, t) + \nabla \cdot \{c(x, t) \rho(x, t) u(x, t) T(x, t) - \lambda(x) \nabla T(x, t)\} = f(x, t) \\ \forall (x, t) \in \Omega \times \Sigma,$$

mit der Anfangsbedingung

$$T(x, a) = T_0(x), \quad x \in \overline{\Omega},$$

und den Randbedingungen

$$\begin{aligned} T(x, t) &= g(x, t), & (x, t) &\in \Gamma_D(t) \times \Sigma, & \Gamma_D(t) &\subseteq \partial\Omega, \\ \{c\rho u T - \lambda \nabla T\} \cdot \nu &= Q(x, t), & (x, t) &\in \Gamma_N(t) \times \Sigma, & \Gamma_N(t) &= \partial\Omega \setminus \Gamma_D \end{aligned}$$

Stationäre Wärmeleitung

Vereinfachungen

- T zeitunabhängig, d.h. $T = T(x)$
- $u = 0$, also kein Stofffluss (Festkörper)

⇒ **stationäre Diffusionsgleichung**

$$\begin{aligned} -\nabla \cdot \{\lambda \nabla T(x)\} &= f(x), & x \in \Omega, \\ T(x) &= g(x), & x \in \Gamma_D \subseteq \partial\Omega, \\ -\lambda \nabla T(x) \nu &= Q(x), & x \in \Gamma_N = \partial\Omega \setminus \Gamma_D. \end{aligned}$$

Mit $\lambda = 1$ ergibt sich die **Poissongleichung**

$$\begin{aligned} -\nabla \cdot \nabla T &= -\Delta T = f & \text{in } \Omega, \\ T &= g & \text{auf } \partial\Omega, \end{aligned}$$

Laplace-Gleichung

Laplace Operator

$$\Delta = \sum_{i=1}^n \frac{\partial^2}{\partial x_i^2}$$

Vereinfachung: $f = 0$ (homogene Gleichung)

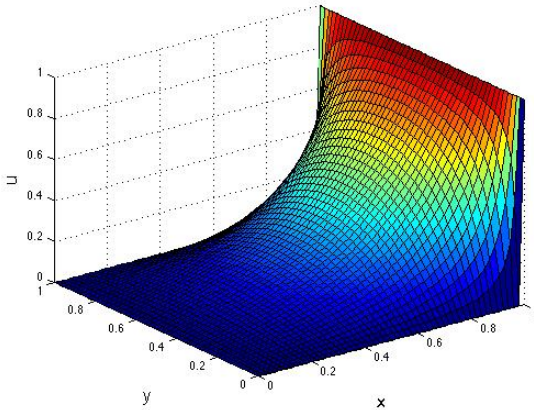
\Rightarrow **Laplace-Gleichung** $\Delta T = 0$

Spezialfall 2D: $n = 2$

$$\Delta T = \frac{\partial^2 T}{\partial x_1^2} + \frac{\partial^2 T}{\partial x_2^2} = 0$$

Lösung der Laplacegleichung

Berechnungsgebiet 2D



Approximation der Gleichung

Differenzenquotient

$$\partial_x u(x) = \lim_{h \rightarrow 0} \frac{u(x+h) - u(x)}{h}$$

Ableitung z.B. aus Taylorentwicklung:

$$u(x+h, y) = u(x, y) + h\partial_x u(x, y) + \frac{h^2}{2}\partial_{x^2}^2 u(x, y) + O(h^3)$$

$$u(x-h, y) = u(x, y) - h\partial_x u(x, y) + \frac{h^2}{2}\partial_{x^2}^2 u(x, y) + O(h^3)$$

Diskretisierung

Approximation 1.Ordnung

- Vorwärtsdifferenz

$$\partial_x u(x, y) \approx \frac{u(x + h, y) - u(x, y)}{h} + O(h)$$

- Rückwärtsdifferenz

$$\partial_x u(x, y) \approx \frac{u(x, y) - u(x - h, y)}{h} + O(h)$$

Diskretisierung

Approximation 2.Ordnung

- zentrale Differenz

$$\begin{aligned}\partial_x u(x, y) \approx & \frac{1}{2h} \left[u(x+h, y) - u(x, y) - \frac{h^2}{2} \partial_{x^2}^2 u(x, y) \right] + O(h^2) \\ & - \frac{1}{2h} \left[u(x-h, y) + u(x, y) + \frac{h^2}{2} \partial_{x^2}^2 u(x, y) \right] + O(h^2)\end{aligned}$$

$$\partial_x u(x, y) \approx \frac{1}{2h} [u(x+h, y) - u(x-h, y)] + O(h^2)$$

Diskretisierung d. 2.Ableitung

Approximation 2.Ordnung

$$\begin{aligned}\partial_{x^2}^2 u(x, y) \approx & \frac{2}{2h^2} [u(x+h, y) - u(x, y) - \partial_x u(x, y)] + O(h^2) \\ & + \frac{1}{2h^2} [u(x-h, y) - u(x, y) + \partial_x u(x, y)] + O(h^2)\end{aligned}$$

$$\partial_x u(x, y) \approx \frac{1}{h^2} [u(x+h, y) - 2u(x, y) - u(x-h, y)] + O(h^2)$$

Diskretisierung d. Laplace-Operators

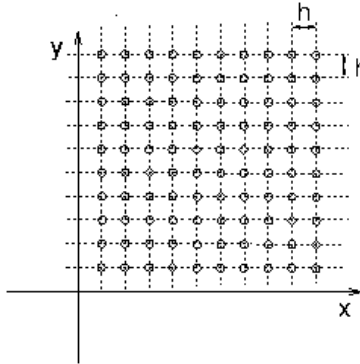
$$\partial_{x^2}^2 u(x, y) + \partial_{y^2}^2 u(x, y) \approx$$

$$\frac{1}{h^2} [u(x + h, y) - 2u(x, y) + u(x - h, y)]$$

$$+ \frac{1}{h^2} [u(x, y + h) - 2u(x, y) + u(x, y - h)]$$

Diskretisierung des Berechnungsgebietes

Berechnungsgebiet zerlegt in ein (nicht notwendigerweise) äquidistanten Gitter (kleine Gitterweite $h = \Delta x = \Delta y$)

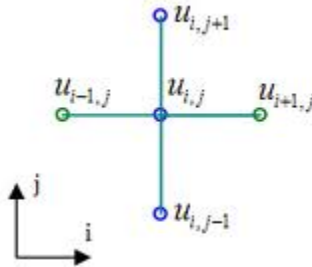


Fünf-Punkte-Stern

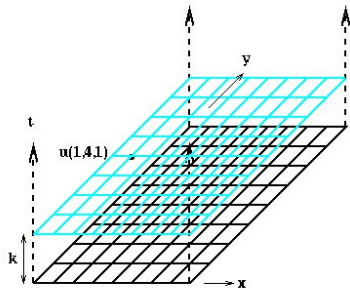
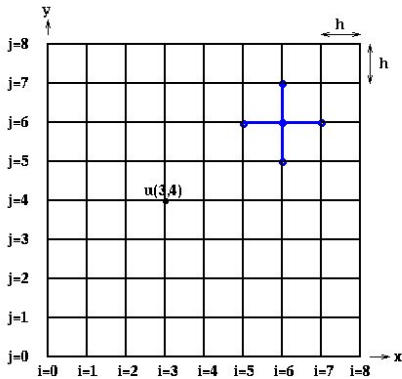
Diskrete Punkte $(x_i, y_j) \quad i = 1, \dots, n, \quad j = 1, \dots, m$

Notation

$$u(x_i, y_j) = u_{ij}$$



Laplace/Poisson-2D



Laplace/Poisson-2D

Berechnung auf Iterationsebene (n+1)

$$u_{i,j}^{n+1} = \frac{1}{4h^2} [u_{i+1,j}^n + u_{i-1,j}^n + u_{i,j+1}^n + u_{i,j-1}^n]$$

Resultierende Matrix

Tridiagonal/Bandstruktur

Klassifizierung

Vollbesetzte/Dichte Matrizen

- Voll besetzte Matrizen
(dense matrices), d.h. wenig/keine Nullen als Einträge
- Direkte Verfahren (Gauss, bzw entsprechende Zerlegungen)
- Bandmatrizen
Diagonalmatrix mit besetzten Nebendiagonalen, ansonsten Nullen
⇒ Spezielle Algorithmen: Thomas-Algorithmus
- Robuste Standardalgorithmen
 - LAPACK
 - BLAS

Dünnbesetzte Matrizen

- Dünnbesetzte Matrizen
(sparse matrices), d.h. wenige von Null verschiedene Einträge
spezielles Speicherformat der NichtNull Einträge
- Lösung mit iterativen Verfahren
 - Jacobi
 - Gauss-Seidel
 - Krylov-Unterraum-Methoden

Direkte Verfahren

Gauß-Elimination

Löse Gleichungssystem $\mathbf{Ax} = \mathbf{b}$

■ Reduktion

$$\begin{bmatrix} a_{11} & a_{12} & \dots & a_{1n} \\ 0 & \tilde{a}_{22} & \dots & \tilde{a}_{2n} \\ \vdots & \vdots & \ddots & \vdots \\ 0 & 0 & \dots & \tilde{a}_{nn} \end{bmatrix} \begin{bmatrix} x_1 \\ x_2 \\ \vdots \\ x_n \end{bmatrix} = \begin{bmatrix} b_1 \\ \tilde{b}_2 \\ \vdots \\ \tilde{b}_n \end{bmatrix}$$

■ Rückwärtseinsetzen

$$x_k = \frac{1}{a_{kk}} \left(b_k - \sum_{j=k+1}^n a_{kj} x_j \right)$$

Direkte Verfahren

LU/LR-Zerlegung

Löse Gleichungssystem $\mathbf{Ax} = \mathbf{b}$

■ LU-Zerlegung

$$\begin{bmatrix} a_{11} & a_{12} & \dots & a_{1n} \\ a_{21} & a_{22} & \dots & a_{2n} \\ \vdots & \vdots & \ddots & \vdots \\ a_{n1} & a_{n2} & \dots & a_{nn} \end{bmatrix} = \begin{bmatrix} l_{11} & 0 & \dots & 0 \\ l_{21} & l_{22} & \dots & 0 \\ \vdots & \vdots & \ddots & \vdots \\ l_{n1} & l_{n2} & \dots & l_{nn} \end{bmatrix} \begin{bmatrix} u_{11} & u_{12} & \dots & u_{1n} \\ 0 & u_{22} & \dots & u_{2n} \\ \vdots & \vdots & \ddots & \vdots \\ 0 & 0 & \dots & u_{nn} \end{bmatrix}$$

■ Lösen

$$\begin{aligned} \mathbf{Ax} = \mathbf{b} &\Rightarrow \mathbf{LUx} = \mathbf{L(Ux)} = \mathbf{Ly} = \mathbf{b} \\ &\Rightarrow \mathbf{Ly} = \mathbf{b} \quad \mathbf{Ux} = \mathbf{y} \end{aligned}$$

Direkte Verfahren

Singulärwert-Zerlegung (Single Value Decomposition(SVD))

Löse Gleichungssystem $\mathbf{Ax} = \mathbf{b}$

- **Zerlegung** $\mathbf{A} = \mathbf{U}\mathbf{\Lambda}\mathbf{V}^T$ mit

$$\mathbf{U}^T \mathbf{U} = \mathbf{V}\mathbf{V}^T = \mathbf{I} = \begin{bmatrix} 1 & 0 & \dots & 0 \\ 0 & 1 & \dots & 0 \\ \vdots & \dots & \ddots & \vdots \\ 0 & 0 & \dots & 1 \end{bmatrix} \quad \mathbf{\Lambda} = \begin{bmatrix} \lambda_{11} & 0 & \dots & 0 \\ 0 & \lambda_{22} & \dots & 0 \\ \vdots & \dots & \ddots & \vdots \\ 0 & 0 & \dots & \lambda_{nn} \end{bmatrix}$$

- **Lösen**

$$\mathbf{Ax} = \mathbf{V}\mathbf{\Lambda}^{-1}\mathbf{U}^T \mathbf{b}$$

Direkte Verfahren

QR-Zerlegung

Löse Gleichungssystem $\mathbf{Ax} = \mathbf{b}$

- **Zerlegung** $\mathbf{A} = \mathbf{QR}$ mit
 \mathbf{R} obere Dreiecksmatrix
 \mathbf{Q} Orthogonale Matrix mit

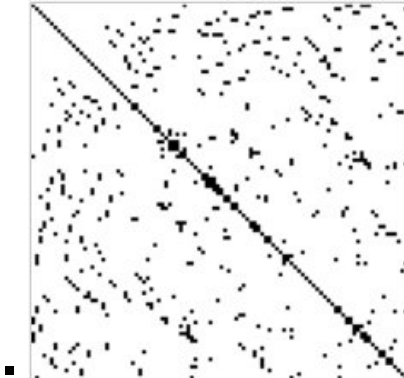
$$\mathbf{Q}^T \mathbf{Q} = \mathbf{I} = \begin{bmatrix} 1 & 0 & \dots & 0 \\ 0 & 1 & \dots & 0 \\ \vdots & \dots & \ddots & \vdots \\ 0 & 0 & \dots & 1 \end{bmatrix}$$

- **Lösen**

$$\begin{aligned} \mathbf{Ax} = \mathbf{b} &\Rightarrow \mathbf{QRx} = \mathbf{b} \Rightarrow \mathbf{Q}^T \mathbf{QRx} = \mathbf{Q}^T \mathbf{b} \\ &\Rightarrow \mathbf{Rx} = \mathbf{Q}^T \mathbf{b} \end{aligned}$$

Iterative Verfahren

i.Allgemeinen für Dünnbesetzte Matrizen

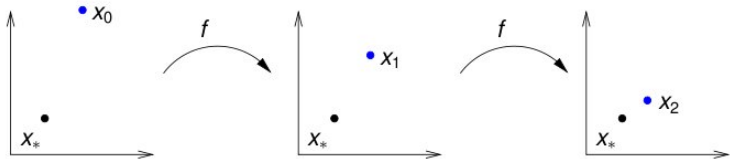


Iterative Verfahren

im Allgemeinen für dünnbesetzte Matrizen

- Braucht meist nur $y = Ax$ oder einfache Zerlegung
- Berechnet sukzessive bessere Approximation x^{k+1}
- Gute Konvergenz ist abhängig von Präkonditionierung
- Die besten Präkonditionierer sind schwer zu parallelisieren

Idee der Iteration



- f ist kontraktiv, sofern $\|f(x) - f(y)\| < \|x - y\|$.
 \Rightarrow Es existiert ein eindeutiger Fixpunkt $x^* = f(x^*)$
- Für $x^{k+1} = f(x^k)$, $x^k \rightarrow x^*$
- Falls $\|f(x) - f(y)\| < \alpha \|x - y\|$, $\alpha < 1 \quad \forall x, y$
 $\Rightarrow \|x^k - x^*\| < \alpha \|x - x^*\|$

Iterative Verfahren

Speicherformate dünnbesetzter Matrizen

Speicher der von Null verschiedenen Matrixeinträge, sowie deren Index

■ Yale-Format

- Datenvektor *data* der von Null verschiedenen Matrixelemente
- Indexvektor der Indizierung für einen Zeilenübertrag
(Pos. gibt Zeilenr. an, Eintrag ab welchen Element die Zeile beginnt)
- Indexvektor der Spaltenindizes *J* der Elemente

■ Index-Format (scipy) $A[i[k], j[k]] = data[k]$

- Datenvektor *data* der von Null verschiedenen Matrixelemente
- Indexvektor der Spaltenindizes *I*
- Indexvektor der Zeilenindizes *J*

Iterative Verfahren

Speicherformate: Beispiel

Matrix
$$\begin{pmatrix} 1 & 2 & 0 & 0 \\ 0 & 3 & 9 & 0 \\ 0 & 1 & 4 & 0 \end{pmatrix}$$

■ Yale-Format

- $data = [1\ 2\ 3\ 9\ 1\ 4]$
- $I_Z = [0\ 2\ 4\ 6]$
- $J = [0\ 1\ 1\ 2\ 1\ 2]$

■ Index-Format (scipy)

- $data = [1\ 2\ 3\ 9\ 1\ 4]$
- $J = [0\ 1\ 1\ 2\ 1\ 2]$
- $I = [0\ 0\ 1\ 1\ 2\ 2]$

Splitting-Methoden

Iterative Verfahren, für die folgende Zerlegung existiert:

$$\mathbf{A} = \mathbf{M} - \mathbf{N}, \quad \mathbf{A}, \mathbf{M}, \mathbf{N} \in \mathbb{R}^{n \times n}$$

\mathbf{M}^{-1} leicht zu berechnen (Diagonalmatrix)

mit der **Iterationsvorschrift**

$$\mathbf{M}x^{k+1} = \mathbf{N}x^k + b \quad \text{bzw.}$$

$$x^{k+1} = \mathbf{C}x^k + d \quad \text{mit}$$

$$\mathbf{C} := \mathbf{M}^{-1}\mathbf{N} \quad d := \mathbf{M}^{-1}b$$

Konvergenz

Iterative Verfahren, für die folgenden Zerlegung existiert:

- Konvergenz, sofern $\rho(\mathbf{M}^{-1}\mathbf{N}) < 1$
- Ideale Präkonditionierung für Konvergenz: $\mathbf{M} = \mathbf{A}$
- Einfachste Präkonditionierung: $\mathbf{M} = \mathbf{I}$
- Realistische Präkonditionierung: etwas zwischen
 - Jacobi: $\mathbf{M} = \mathbf{D}$
 - Gauß-Seidel: $\mathbf{M} = (\mathbf{D} - \mathbf{L})^{-1}$

Jacobi-Verfahren

oder Gesamtschritt-Verfahren

$$\mathbf{A} = \mathbf{D} - \mathbf{L} - \mathbf{R}, \quad \mathbf{D}, \mathbf{L}, \mathbf{R} \in \mathbb{R}^{n \times n}, \quad \mathbf{D} \text{ Diagonalmatrix}$$

mit der **Iterationsvorschrift**

$$\mathbf{D}\mathbf{x}^{k+1} = \mathbf{L} + \mathbf{R}\mathbf{x}^k + \mathbf{b} \quad \text{bzw.}$$

$$\mathbf{x}^{k+1} = \mathbf{C}\mathbf{x}^k + \mathbf{d} \quad \text{mit} \quad \mathbf{C} := \mathbf{D}^{-1}(\mathbf{L} + \mathbf{R}) \quad \mathbf{d} := \mathbf{D}^{-1}\mathbf{b}$$

$$x_i^{k+1} = \frac{1}{a_{ii}} \left(b_i - \sum_{j=1, j \neq i}^n a_{ij} x_j^k \right), \quad i = 1, \dots, n.$$

Gauß-Seidel-Verfahren

oder Einzelschritt-Verfahren

$$\mathbf{A} = \mathbf{D} - \mathbf{L} - \mathbf{R}, \quad \mathbf{D}, \mathbf{L}, \mathbf{R} \in \mathbb{R}^{n \times n}, \quad \mathbf{D} \text{ Diagonalmatrix}$$

mit der **Iterationsvorschrift**

$$\mathbf{D} - \mathbf{L} \mathbf{x}^{k+1} = \mathbf{R} \mathbf{x}^k + \mathbf{b} \quad \text{bzw.}$$

$$\mathbf{x}^{k+1} = \mathbf{C} \mathbf{x}^k + \mathbf{d} \quad \text{mit} \quad \mathbf{C} := (\mathbf{D} - \mathbf{L})^{-1} (\mathbf{R}) \quad \mathbf{d} := \mathbf{D} - \mathbf{L}^{-1} \mathbf{b}$$

$$x_i^{k+1} = \frac{1}{a_{ii}} \left(b_i - \sum_{j=1}^{i-1} a_{ij} x_j^{k+1} - \sum_{j=i+1}^n a_{ij} x_j^k \right), \quad i = 1, \dots, n.$$

SOR-Verfahren (Successive overrelaxation)

oder relaxiertes Gauß-Seidel-Verfahren

Einführung eines Relaxationsparameters $\omega \in (0, 2)$

$$\mathbf{A} = \frac{1}{\omega} \mathbf{D} - \mathbf{L} - \mathbf{R} - \frac{1-\omega}{\omega} \mathbf{D}, \quad \mathbf{D}, \mathbf{L}, \mathbf{R} \in \mathbb{R}^{n \times n}, \quad \mathbf{D} \text{ Diagonalmatrix}$$

mit der **Iterationsvorschrift**

$$\mathbf{D} - \omega \mathbf{L} \mathbf{x}^{k+1} = (1 - \omega) \mathbf{D} \mathbf{x}^k + \omega \mathbf{R} \mathbf{x}^k + \omega \mathbf{b} \quad \text{bzw.}$$

$$\mathbf{x}^{k+1} = \mathbf{C} \mathbf{x}^k + \mathbf{d} \quad \text{mit}$$

$$\mathbf{C} := \mathbf{D} - \omega \mathbf{L}^{-1} [(1 - \omega) \mathbf{D} + \omega \mathbf{R}] \quad \mathbf{d} := \mathbf{D} - \mathbf{L}^{-1} \mathbf{b}$$

$$x_i^{k+1} = \frac{\omega}{a_{ii}} \left(b_i - \sum_{j=1}^{i-1} a_{ij} x_j^{k+1} - \sum_{j=i+1}^n a_{ij} x_j^k \right) + (1 - \omega) x_i^k, \\ i = 1, \dots, n.$$

Krylov-Unterraummethoden

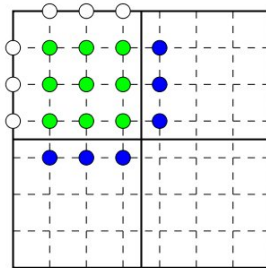
- Matrix-Vektormultiplikation mit \mathbf{A}
- Spant Krylov-Unterraum

$$K_k(\mathbf{A}, b) := [b, \mathbf{A}b, \mathbf{A}^2b, \dots, \mathbf{A}^{k-1}b] \text{ auf}$$

- In diesem Unterraum wird die Sukzessive die Lösung x^k gesucht
- Algorithmen:
 - GMRES, CG, BiCG,...

Gebietszerlegung

Modell-Problem: Laplace-Gleichung



Randwerte



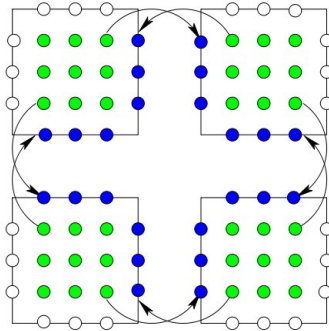
Daten auf Prozessor P_0



Ghost Cells

Gebietszerlegung

Modell-Problem: Laplace-Gleichung



- Kopieren der Ghost cells

Jacobi-Algorithmus auf 2D Laplace

Modell-Problem: Laplace-Gleichung

```
for step = 1:nsteps
    for i = 2:n-1
        for j = 2:n-1
            u_next(i,j) =
                ( u(i,j+1) + u(i,j-1) + u(i-1,j) + u(i+1,j) )/4*h*h)
        end
    end
    u = u_next;
end
```

Gauß-Seidel-Algorithmus auf 2D Laplace

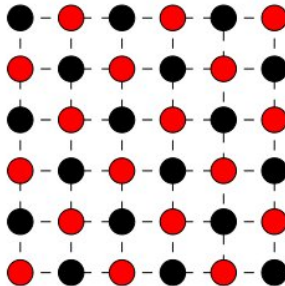
Modell-Problem: Laplace-Gleichung

```
for step = 1:nsteps
    for i = 2:n-1
        for j = 2:n-1
            u(i,j) =
                (u(i,j+1) + u(i,j-1) + u(i-1,j) + u(i+1,j) )/(4*h*h)
        end
    end
end
```

Bei Gauss-Seidel werden Teile der Lösung aus neuer Lösung berechnet. Wie parallelisieren

Red-Black-Gauß-Seidel

Modell-Problem: Laplace-Gleichung



- Rote Werte hängen nur von schwarzen Werten ab
- Schwarze Werte hängen nur von roten Werten ab

Gauß-Seidel-Algorithmus auf 2D Laplace

Modell-Problem: Laplace-Gleichung

```
for i = 2:n-1
    for j = 2:n-1
        if mod(i+j,2) == 0
            u(i,j) = ...
        end
    end
end
for i = 2:n-1
    for j = 2:n-1
        if mod(i+j,2) == 1,
            u(i,j) = ...
        end
    end
end
```

Paralleler Gauß-Seidel-Algorithmus auf 2D Laplace

Prinzipielles Vorgehen

In jedem Schritt:

- **Kommunikation**
Sende schwarze Ghost cells
- **Berechnung**
Update der roten Zellen
- **Kommunikation**
Sende rote Ghost cells
- **Berechnung**
Update der schwarzen Zellen

L.A. Pakete – BLAS

Basic Linear Algebra Subprograms (BLAS)

- BLAS-Routinen bilden das Grundgerüst für viel andere LA-Pakete
- BLAS kapselt Basisfunktionalitäten zu Vektor und Matrixoperationen, welche für die jeweiligen Architekturen optimiert werden können
- Routinen bieten die Möglichkeit zur Optimierung der Speicherhierarchie/-nutzung
- In viele Standarddistributionen enthalten, ansonsten über netlib verfügbar.

<http://www.netlib.org/blas>

Entwicklung BLAS

BLAS 1 (1973-1977) – $O(n^1)$ Op. auf $O(n^1)$ Daten

- Standardbibliothek für 15 grundlegende Vektoroperationen
- Verschiedene Datentypen (S/D/C)
- Beispiel: Routine DAXPY
 - Double precision
 - löst $\alpha x + y$
- **Ziele**
 - Grad der Abstraktion zu erhöhen (Programmierung)
 - Portierbares Interface, maschinennahe Implementierung
 - Robuste Algorithmen

Entwicklung BLAS2

BLAS 2 (1984-1986) – $O(n^2)$ Op. auf $O(n^2)$ Daten

- Standardbibliothek für 25 grundlegende Matrix/Vektoroperationen
- Verschiedene Daten- und Matrixtypen
- Beispiel: Routine DGEMV
 - Double Precision
 - GEneral Matrix
 - Matrix Vektorprodukt \mathbf{Ax}
- **Ziele**
 - Optimierung von BLAS1 (ineffizient)
 - Anpassung an neue Vektormaschinen

Entwicklung BLAS3

BLAS 3 (1987-1988) – $O(n^3)$ Op. auf $O(n^2)$ Daten

- Standardbibliothek für 9 grundlegende Matrix/Matrixoperationen
- Verschiedene Daten- und Matrixtypen
- Beispiel: Routine DGEMM
 - Double Precision
 - GEneral Matrix
 - Matrix-Matrixprodukt **AB**
- **Ziele**
 - Effiziente Speicher/Cacheausnutzung

Weiterentwicklung BLAS

Verschiedenen Implementationen

- `refblas` – Offizielle Referenzimplementierung von `netlib`
 - ACML – AMD Core Math Library,
 - ATLAS – Automatically Tuned Linear Algebra Software
 - ESSL – IBMs Engineering and Scientific Subroutine Library
 - ...
-
- CUBLAS – Nvidia-Implementierung von BLAS für CUDA
 - XBLAS – Extra Precise Basic Linear Algebra Subroutines

Warum BLAS?

Betrachte Gauß-Elimination

LU for 2×2 :

$$\begin{bmatrix} a & b \\ c & d \end{bmatrix} = \begin{bmatrix} 1 & 0 \\ c/a & 1 \end{bmatrix} \begin{bmatrix} a & b \\ 0 & d - bc/a \end{bmatrix}$$

Block elimination

$$\begin{bmatrix} A & B \\ C & D \end{bmatrix} = \begin{bmatrix} I & 0 \\ CA^{-1} & I \end{bmatrix} \begin{bmatrix} A & B \\ 0 & D - CA^{-1}B \end{bmatrix}$$

Block LU

$$\begin{bmatrix} A & B \\ C & D \end{bmatrix} = \begin{bmatrix} L_{11} & 0 \\ L_{12} & L_{22} \end{bmatrix} \begin{bmatrix} U_{11} & U_{12} \\ 0 & U_{22} \end{bmatrix} = \begin{bmatrix} L_{11}U_{11} & L_{11}U_{12} \\ L_{12}U_{11} & L_{21}U_{12} + L_{22}U_{22} \end{bmatrix}$$

Warum BLAS?

Block LU

$$\begin{bmatrix} A & B \\ C & D \end{bmatrix} = \begin{bmatrix} L_{11} & 0 \\ L_{12} & L_{22} \end{bmatrix} \begin{bmatrix} U_{11} & U_{12} \\ 0 & U_{22} \end{bmatrix} = \begin{bmatrix} L_{11}U_{11} & L_{11}U_{12} \\ L_{12}U_{11} & L_{21}U_{12} + L_{22}U_{22} \end{bmatrix}$$

```
[L11,U11] = small_lu(A);    \\ block LU-Zerlegung von A
U12 = L11\B;                \\ Lösen Dreiecksmatrix
L12 = C/U11;                \\      -- " --
S = D-L21*U12;              \\ Update vom Rang k
[L22,U22] = lu(S);          \\ Finale Faktorisierung
```

- Faktorisierung mit wenig Aufwand und BLAS3

L.A. Pakete – LAPACK

Linear Algebra PACKage (LAPACK)

- Erweiterung von LINPACK (Speziell für Vektorrechner)
- LAPACK umfasst effiziente Routinen zur Lösung
 - linearer Gleichungssysteme
 - linearer Ausgleichsprobleme
 - Eigenwertproblemen.
- Basisfunktionalitäten und -Algorithmen durch BLAS (Linear System und Least-Square-Algorithmen basierend nahezu zu 100% auf BLAS)
- Entwicklung seit 1989. Verfügbar unter <http://www.netlib.org/lapack>

ScaLAPACK

ScaLAPACK – Scalable Linear Algebra PACKage

- Univ. Tennessee, Univ. Berkeley, Univ. Colorado Denver, NAG Ltd.
 - **Jack Dongarra** – EISPACK, LINPACK, BLAS, LAPACK, ScaLAPACK, Netlib, PVM, MPI
-
- High-Performance Linear Algebra-Routinen
 - ausgelegt für parallele Rechner mit verteilter Speicher (PDMM)
 - MPI-Implementierung

LAPACK Funktionalitäten

- General: general (GE), banded (GB), pair (GG), tridiag(GT)
- Symmetric: general (SY), banded (SB), packed (SP), tridiag (ST)
- Hermitian: general (HE), banded (HB), packed (HP)
- Positive definite (PO), packed (PP), tridiagonal (PT)
- Orthogonal (OR), orthogonal packed (OP)
- Unitary (UN), unitary packed (UP)
- Hessenberg (HS), Hessenberg pair (HG)
- Triangular (TR), packed (TP), banded (TB), pair (TG), Bidiagonal (BD)